

岩手・宮城内陸地震に係る山地災害対策検討会

報告書

目 次

| | |
|---------------------------------------|------|
| 1. 検討会の概要 | P1 |
| 2. 岩手・宮城内陸地震と山地災害について | P3 |
| 3. 岩手・宮城内陸地震による荒廃状況 | P7 |
| 4. 岩手・宮城内陸地震による山地災害対策方針案 | P11 |
| 5. 岩手・宮城内陸地震に係る被害に対する対応状況及び監視体制 | P16 |
| 6. 各流域の荒廃状況 | P21 |
| 7. 各流域の治山全体計画(案) | P115 |

別 冊：分科会：荒砥沢地すべり総括資料

2.5 万分の1 地形図（荒廃現況図、A1 サイズ、4葉）

平成20年12月

東 北 森 林 管 理 局

1. 検討会の概要

(1) 名 称

本検討会は、「岩手・宮城内陸地震に係る山地災害対策検討会」と称する。

(2) 目 的

平成20年岩手・宮城内陸地震により甚大な被害を受けた追川、磐井川、胆沢川流域における大規模な地すべり、山腹崩壊、荒廃溪流等の山地災害の今後の本格的な復旧対策や計画を策定するに当たり、学識経験者からの指導・助言を頂くことを目的として設置する。

(3) 検討会の構成

<検討会委員>

石川 芳治 東京農工大学共生科学技術研究部教授
井良沢道也 岩手大学農学部准教授
千葉 則行 東北工業大学工学部准教授
松浦 純生 森林総合研究所水土保全課課長
宮城 豊彦 東北学院大学教養部教授（座長）
下平 敦 東北森林管理局森林整備部長（平成20年7月12日～7月31日）
石井 晴雄 東北森林管理局森林整備部長（平成20年8月1日～12月20日）

<オブザーバー>

日本地すべり学会東北支部
独立行政法人 森林総合研究所
岩手県、宮城県、荒砥沢ダム管理者

<事務局>

東北森林管理局

(4) 分科会の設置

荒砥沢ダム上流の地すべりについては、地すべりの規模が極めて大きく、調査項目や検討すべき課題が多いと考えられることから、本検討会に「荒砥沢ダム上流地すべり分科会」を設置し、集中的に論議・検討するものとする。

<分科会委員>

中里 裕臣 農業・食品産業技術総合研究機構農村工学研究所 基礎地盤研究室長
増川 晋 農業・食品産業技術総合研究機構農村工学研究所 構造研究室長

<オブザーバー>

大澤 賢修 東北農政局 整備部 次長
森 一司 東北農政局 農村計画部 地質官

(5) 検討会対象区域

検討会における対象区域は、今回の地震災害によって被害の顕著であった以下の流域・地区内の主に国有林内を対象とし、その内、民有林直轄事業地は耕英地区を対象とした（流域面積：28,187ha、その内、国有林面積 28,076ha）。

- ① 一追川上流域
- ② 二追川上流域
- ③ 三追川上流域
- ④ 耕英地区、行者の滝周辺・洞万地区
- ⑤ 磐井川上流域（産女川上流域・磐井川上流域）
- ⑥ 胆沢川上流域（前川流域・尿前沢流域）
- ⑦ 市野々原地区地すべり
- ⑧ 荒砥沢地すべり



図 1.1 検討会対象地概要図

(6) 開催状況

検討会は、7月12日に第1回目を開催し、12月20日に完了するまでの間に8回開催した。また、これと合わせて3回の現地調査を実施している。次ページ表に開催の経緯を一覧表に示す。



第4回検討会



第7回検討会



宮城座長による記者発表



荒砥沢地すべり現地調査



市野々原地すべり現地調査

写真 1.1 検討会開催状況写真

表 1.1 検討会開催状況

| 区分 | 開催日時 | 開催場所 | 検討項目 |
|-----|------------------------------------|----------------|--|
| 第1回 | 検討会 H20.7/12(土) 10:00～12:00 | 大崎市古川 | ①検討会設置要領等について ②各地区の被害状況の説明 ③一迫川上流域へのによる調査結果の説明 ④山地災害の対応状況について |
| | 現地調査 H20.7/12(土) 13:00～17:00 | 一迫川上流域 | ①一迫川上流域の被害状況確認 (湯浜地区、湯ノ倉地区) |
| | H20.7/13(日) 8:30～17:00 | 耕英地区 市野々原地区 | ①耕英地区被害状況の確認 ②市野々地区地すべりの被害状況確認 |
| 第2回 | 検討会 H20.7/19(土) 10:00～12:00 | 大崎市古川 | ①一迫川上流域の荒廃状況と今後の課題整理 |
| | 現地調査 H20.7/19(土) 13:00～17:30 | 荒砥沢 | ①荒砥沢地すべりの被害状況確認 → 第1回分科会 |
| 第3回 | 検討会 H20.7/30(水) 13:00～16:00 | 一関市 | ①一迫川流域の対策方針 ②その他流域の荒廃状況と今後の課題 |
| 第4回 | 検討会 H20.8/9(土) 13:00～16:00 | 大崎市古川 | ①産女川上流域の対策方針 ②荒砥沢地すべりの現況と課題の整理 → 第2回分科会 |
| | 現地調査 H20.8/10(日) 8:30～16:00 | 胆沢川流域 尻前沢 | ①尻前沢流域の被害状況確認 |
| 第5回 | 検討会 H20.8/15(金) 13:00～16:00 | 大崎市古川 | ①各流域の対策方針について (一迫川・産女川上流域は除く) ②荒砥沢地すべりの現況と課題のまとめ → 第3回分科会 |
| 第6回 | 検討会 H20.8/30(土) 13:00～16:00 | 仙台市 | ①各流域における治山計画のまとめ ②荒砥沢地すべりの課題と対策の考え方 → 第4回分科会 |
| 第7回 | 検討会 H20.9/28(日) 13:00～16:00 | 仙台市 | ①荒砥沢地すべりの課題と対策方針 → 第5回分科会 ②市野々原地区地すべりの課題と対策方針 |
| 第8回 | 検討会 H20.10/20(土) 13:00～16:30 | 仙台市 | ①荒砥沢地すべりの調査結果と対策について → 第6回分科会 ②市野々原地区地すべりの対策について ③山地災害に係る治山計画のとりまとめ |

2. 岩手・宮城内陸地震と山地災害について

2.1 地震の概要

2008年6月14日8:43に発生した本震について、独立行政法人・防災科学技術研究所(NIED)のHPより地震データをダウンロードして用いて特徴をまとめる。

資料中では次のシンボルにより、防災科研の地震観測網を表記区別している。

○高感度地震観測網：Hi-net 

微弱な震動まで対応。全国約800ヶ所の地下100m以深に設置した高感度地震計で構成される。

○強震観測網：K-NET・KiK-NET  

強震対応。K-NETは、全国約1000ヶ所の地表に設置した強震計から構成される。KiK-netは、Hi-net観測点の地表と地中に設置された強震計から構成される。

<本震と余震>

岩手・宮城内陸地震は、本震発生後、8月に入てもなお余震が続く状態にある。6月14日以降の余震分布を示す。6月14日から8月18日までの余震回数はM3.0以上が168回、M4.0以上が63回、M5.0以上が3回となっている。

また、一関西で観測された地表面加速度は、3方向合成で最大4000galを超える大きな値である。

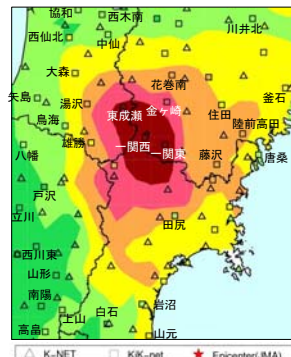


図 2.1 本震（6月14日）の地表面最大加速度分布

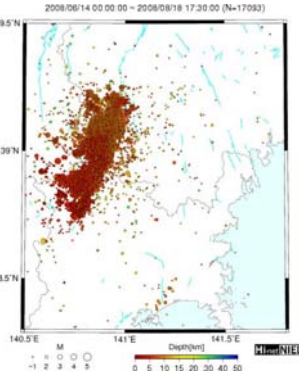


図 2.2 6月14日～8月18日までの余震分布

図2.3は、防災科研・青井モデルによる震源過程インバージョン解析の結果である。インバージョン解析（逆解析）とは、図中の11箇所の観測点地震動と合致するよう、モデル断層面上のすべり量と方向を求める手法をいう。図に得られたすべり量と方向が示されている。これを見ると、すべりは主に破壊開始点の南側の浅い方に進展し、震源の南南東10kmほどの位置で最大値（約6mのすべり）が生じている。

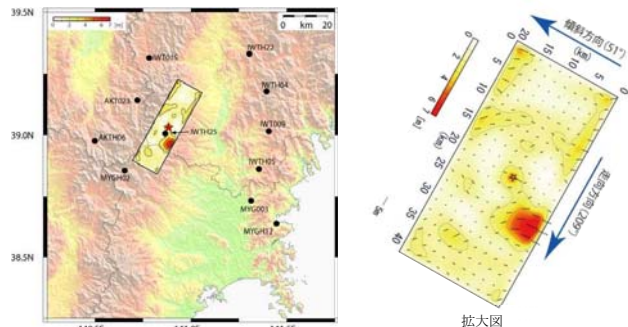


図 2.3 防災科研・青井モデルのインバージョン解析より得られた断層面のすべり分布

図2.1の最大加速度分布からわかるように、地震動の大きな領域は断層南東側に広がる。その理由として、奥羽山脈に比べ軟弱な地盤条件である仙台平野における地震動増幅効果と、断層のすべりが、主に破壊開始点南側の浅い方に進展した効果、これら2つが相乗効果となり作用した可能性を、青井らが指摘している。

<本震の特徴>

岩手・宮城内陸地震の本震は、次の2つの特徴を有する。

- 震源直近の観測点(KiK-net一関西)で、過去例のないきわめて大きな加速度が観測された。
 - 上下動: 3866 gal、水平動合成: 1434 gal、三成分合成: 4022 gal
 - 同地点では、水平動に比べ上下動成分が大きい。

水平動より上下動が大きいという特徴は、逆断層上盤の直上という観測点の位置に起因すると考えられ、以上のことから、地震により発生した地すべり等の斜面崩壊を考えると、特に断層近傍箇所では上下動成分の影響を無視することはできない。

2.2 地質と山地災害状況

八木・佐藤・山崎（2008, Ver.1.2）の空中写真判読による崩壊地と（独）産業総合技術研究所の20万分の1地質図を重ねた結果から、地質と地震による崩壊の関係を把握した。地質との関係を把握するために、崩壊の判読範囲は、対象流域を限定せずに、八木・佐藤・山崎（2008, Ver.1.2）の空中写真判読範囲を集計した。箇所数は、判読できる全ての箇所数を集計している。そのため、後述の3章岩手・宮城内陸地震による荒廃状況の流域別の箇所数と異なっている。

崩壊は、浅層崩壊（崩壊）、深層崩壊（崩壊性地すべり）、地すべりに区分した。

表2.1に空中写真判読結果と地質の関係を、地質年代毎の崩壊面積、崩壊個数の集計結果を示す。

また、図2.5～2.8にそれぞれ、地質年代毎の崩壊の個数と面積を示す。

表2.1 空中写真判読結果と地質の関係

| 地質の年代と岩質 | 面積(m ²) | | | 箇所数(個) | | |
|----------------|---------------------|---------|-----------|--------|------|-------|
| | 地すべり | 深層崩壊 | 浅層崩壊 | 地すべり | 深層崩壊 | 浅層崩壊 |
| 完新世 | 44,408 | 33,990 | 6,902 | 2 | 8 | 27 |
| 第四紀火山性碎屑物 | — | — | 78,464 | — | — | 147 |
| 第四紀栗駒山・焼山火山など | 118,297 | 24,186 | 218,193 | 7 | 8 | 192 |
| 第四紀段丘堆積物 | — | — | 441 | — | — | 3 |
| 中新世後期～更新世中期堆積岩 | 295,854 | 363,440 | 1,271,638 | 70 | 206 | 2,692 |
| 中新世後期～更新世中期火山岩 | 40,831 | 260,598 | 500,944 | 67 | 268 | 5,571 |
| 中新世中期堆積岩 | 95,324 | 23,402 | 361,054 | 60 | 80 | 290 |
| 中新世中期火山岩 | — | — | 13,689 | 2 | 8 | 723 |
| 二疊紀～白亜紀 | 44,408 | 33,990 | 26,777 | 2 | 8 | 129 |
| 計 | 639,122 | 739,606 | 2,478,102 | 210 | 586 | 9,774 |

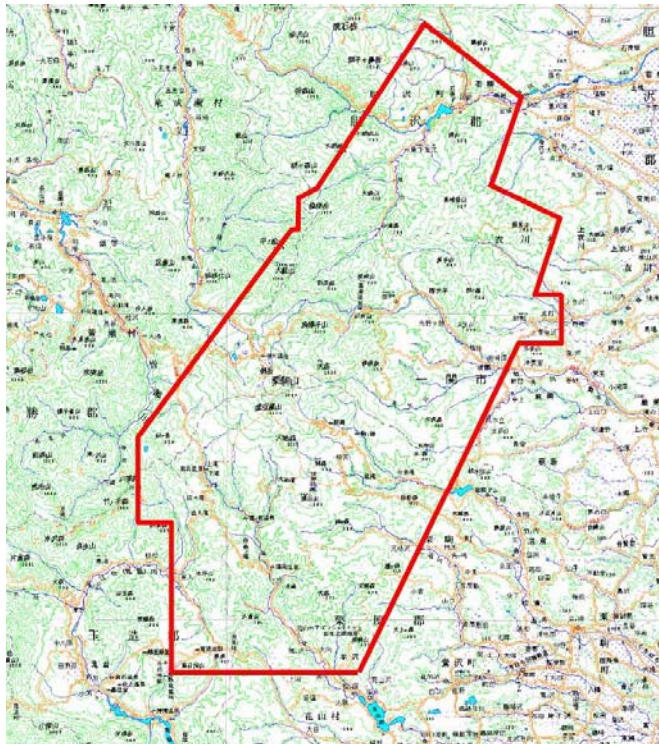


図2.4 八木・佐藤・山崎（2008, Ver. 1.2）空中写真判読範囲
((社)地すべり学会ホームページ, <http://japan.landslide-soc.org/education/report/handokuhani.pdf>)

中新世後期～更新世中期の地質に山腹崩壊が集中し、特に火山岩類（溶結凝灰岩は堆積岩に分類されるが、溶岩と同じように柱状節理が多く急崖を形成しているので、災害の得失上から火山噴出物として火山岩に含めた）が多い。1箇所あたりの崩壊面積も大きい特徴がある。

一迫川上流、二迫川上流、耕英地区、前川上流、磐井川上流、尻前川では、10万m²以上の箇所数が多い。更に、大規模な崩壊により河道閉塞が多数形成された。

また、栗駒山山域には、溶結凝灰岩や安山岩溶岩が分布し、平坦地形を形成している。崩壊は、平坦地形の周辺の急崖部に集中している。

①浅層崩壊

中新世後期～更新世中期の火山岩で最も発生しており、ついで中新世後期～更新世中期の堆積岩、中新世中期火山岩に多い。堆積岩の方が火山岩より、崩壊面積が大きくなる傾向がある。

②深層崩壊・地すべり

中新世後期～更新世中期の火山岩で最も発生しており、ついで、中新世後期～更新世中期の堆積岩、中新世中期の堆積岩に多い。堆積岩の方が、火山岩より崩壊面積が大きくなる傾向がある。

地質と崩壊の関係（全空中写真判読範囲）

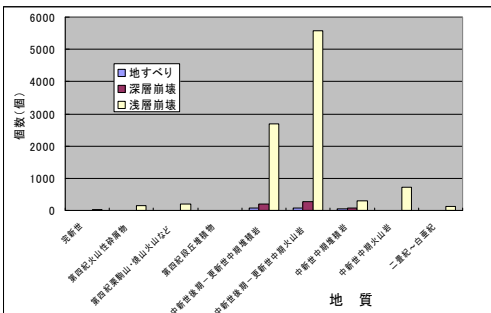


図 2.5 地質年代毎の崩壊個数

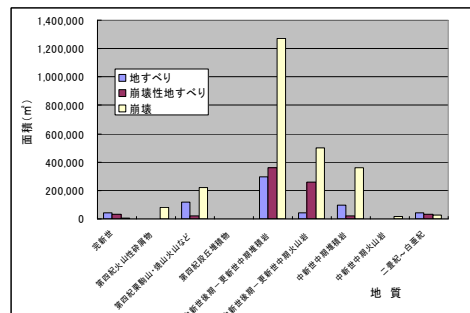


図 2.6 地質年代毎の崩壊累積面積

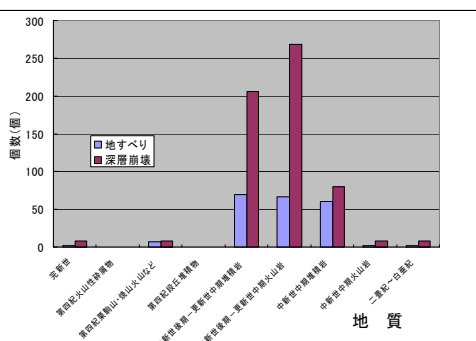


図 2.7 地質年代毎の深層崩壊・地すべりの個数

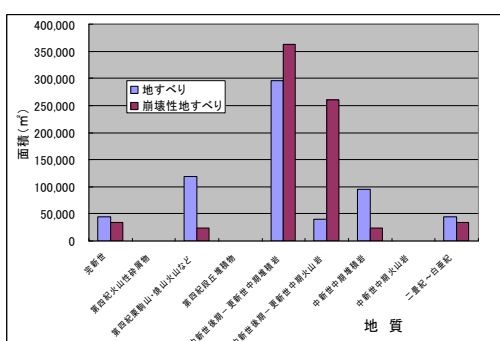
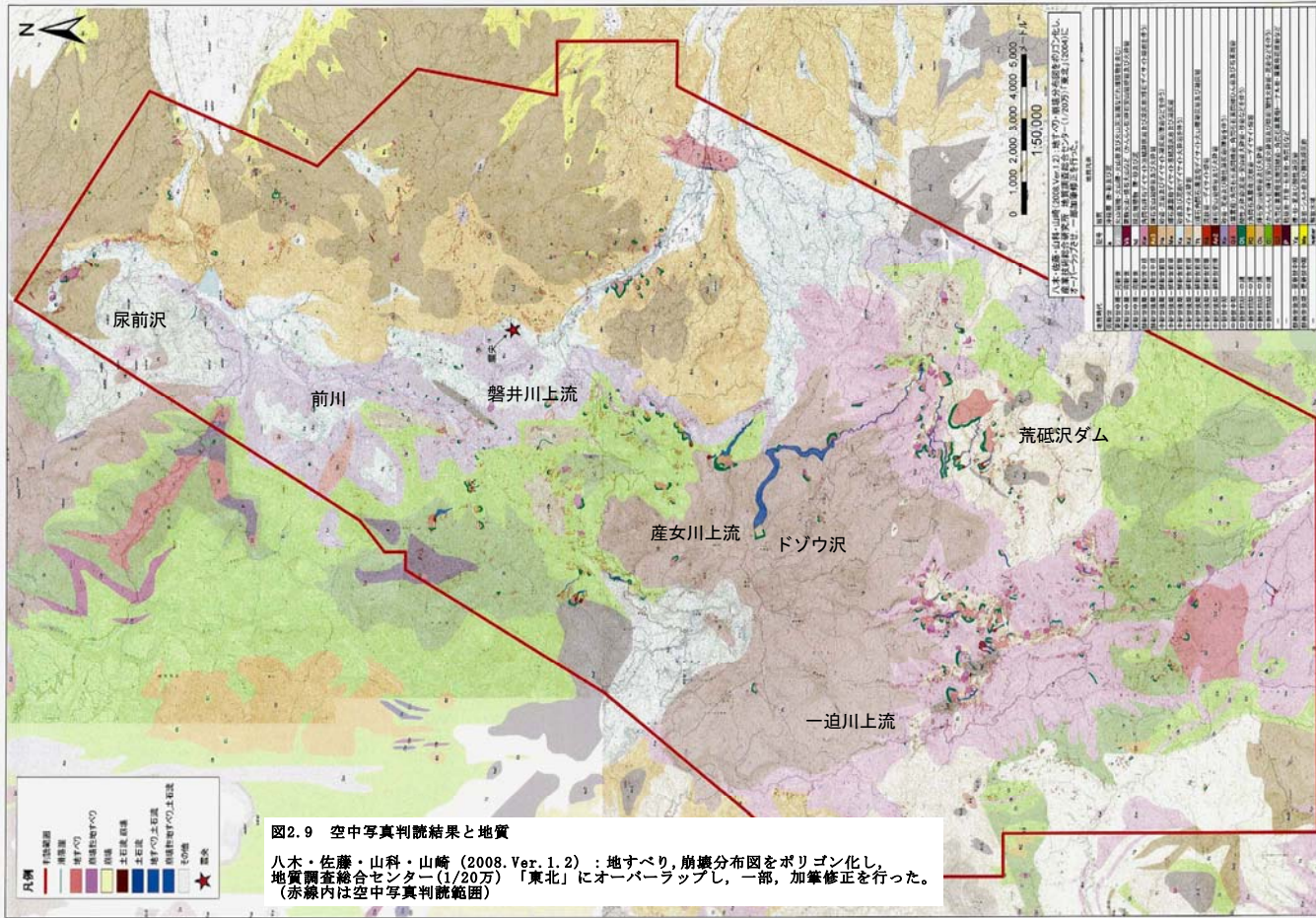


図 2.8 地質年代毎の深層崩壊・地すべり累積面積



3. 岩手・宮城内陸地震による荒廃状況

(1) 荒廃状況の把握

調査対象範囲が広域で崩壊箇所が多く、河道閉塞や林道被害により、全ての崩壊地の現地調査は困難である。そのため、流域内の荒廃状況を把握するために、空中写真を利用した地形判読と空中レーザー測量を利用した地形測量結果から箇所数や崩壊規模を把握し、その中から主な山腹崩壊地や溪流荒廃地を現地調査で規模を確認した。不安定土砂量は、地震により発生した山腹崩壊地内に残存している土砂と地震時に渓床に堆積した新規の渓床不安定土砂量の合計とし、既存の不安定土砂量は、今回の算出から除外した。

①空中写真を利用した崩壊地形判読

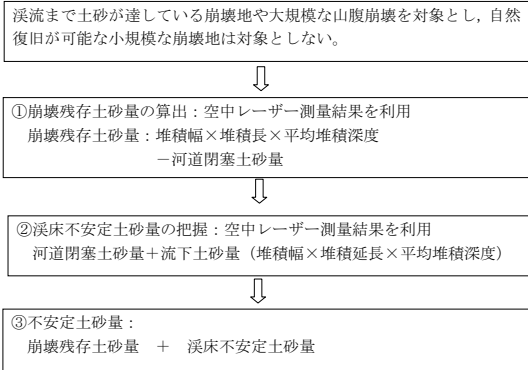
使用空中写真：アジア航測（株）（平成 20 年 6 月 16 日～18 日撮影）、縮尺 1:10,000

②空中レーザー測量を利用した 3D 地形測量

測量範囲：崩壊の密集した流域の約 100k m²をヘリを利用して測量（朝日航洋（株））。

(2) 地震により発生した不安定土砂量の算出方法

空中写真や空中レーザー測量結果から判読した荒廃地の不安定土砂量の算出は、崩壊規模が大きく渓流まで土砂が流出している崩壊地や大規模な山腹崩壊について土砂量を算出した。渓流まで達していない 0.01ha 以下の小規模な崩壊地や渓流に達していても小規模で自然復旧が可能な崩壊地は、土砂量の算定から除外した不安定土砂量は、次のフローで算出した。

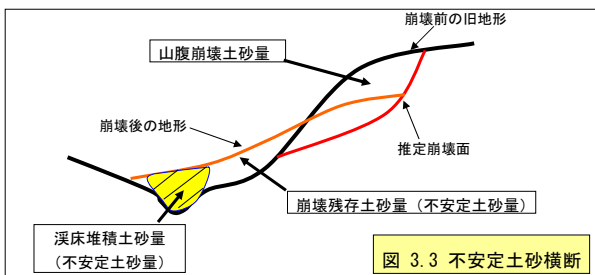
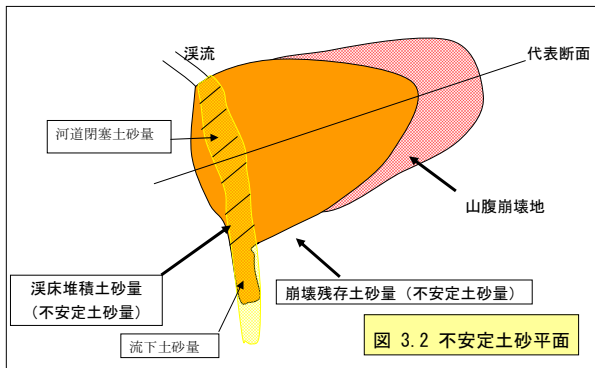


(3) 山腹残存土砂量

山腹崩壊地の個数は、対象流域について空中写真判読と現地調査で確認できた崩壊地で、面積が 0.01ha 以上の山腹崩壊地を発生個数としている。山腹残存土砂量については、空中レーザー測量結果を利用して崩壊発生後の地形形状を計測し、崩壊前の地形形状については 2 万 5 千分の 1 地形図を利用し、両者の地形形状の差から崩壊土砂の堆積深度および崩壊深度を推定し、山腹から渓床に残存している土砂量を算出した。ただし、この崩壊土砂の土砂量には渓床堆積土砂量が含まれているので、渓床を閉塞している土砂量を差引いた残りを崩壊残存土砂量とした。

(4) 渓床不安定土砂量

渓床不安定土砂量は、崩壊土砂が河道を閉塞した土砂量と下流へ流下した土砂量の合計とし、空中レーザー測量結果から渓床幅と堆積長を把握し、2 万 5 千分の 1 地形図を利用して堆積前の河床高を推定して堆積深を推定して、渓床不安定土砂量を算出した。





対象流域区分図



表. 1 岩手・宮城内陸地震による山地災害状況

○小流域別荒廃状況一覧表(検討会対象流域内)

| 流域区分 | 流域面積 (ha) | 山腹荒廃状況 | | | 溪流荒廃状況 | | 荒廃現況計 | | 不安定土砂量 | | | 地形・地質の特徴 | 荒廃の特徴 |
|----------------------------|--------------|-------------|--------------|------------|--------------|------------|----------|------------|--------------------|-------------------|--------------------|--|---|
| | | 崩壊箇数 (個) | 崩壊面積 (ha) | 荒廃率 (%) | 荒廃面積 (ha) | 荒廃率 (%) | 面積計 (ha) | 荒廃率 (%) | 不安定土砂量 ①+②(千m³) | 山腹残存土砂量 ①(千m³) | 溪床不安定土砂量 ②(千m³) | | |
| (1)一迫川上流域(一迫川・伊豆根沢合流点より上流) | | | | | | | | | | | | | |
| ①一迫川本流 | 2,641.0 | 262 | 98.1 | 3.7 | 28.1 | 1.1 | 126.2 | 4.8 | 7,549 | 4,403 | 3,146 | 台地状の地形を谷が切り込み、沢沿いは急傾斜面が発達している。 | 大規模な岩盤崩壊、深層崩壊が多数発生。河床閉塞が5箇所で形成されており、その内、湯ノ倉、湯浜の2箇所は大規模である。 |
| ②河原小屋沢 | 1,817.0 | 207 | 105.0 | 5.8 | 25.3 | 1.4 | 130.3 | 7.2 | 6,355 | 5,024 | 1,331 | | |
| ③伊豆根沢・一迫川上流残流域 | 1,698.0 | 282 | 85.0 | 5.0 | 10.0 | 0.6 | 95.0 | 5.6 | 767 | 256 | 511 | 軽石凝灰岩、凝灰角礫岩の上位に、溶結凝灰岩が分布。 | |
| 小計 | 6,156.0 | 751 | 288.1 | 4.7 | 63.4 | 1.0 | 351.5 | 5.7 | 14,671 | 9,683 | 4,988 | | |
| (2)二迫川上流域(荒砥沢ダムより上流) | | | | | | | | | | | | | |
| ①ヒアピカラ沢 | 205.0 | 6 | 8.7 | 4.2 | 5.5 | 2.7 | 14.2 | 6.9 | 589 | 451 | 138 | 傾斜斜の谷地の周辺に地すべり地形が発達している。 | ヒアピカラ沢源頭部とシミカラ沢、マララ沢に崩塌が集中。シミカラ沢では大規模な深層崩壊により、河床閉塞が形成されている。 |
| ②シミカラ沢 | 202.0 | 23 | 27.0 | 13.4 | 7.3 | 3.6 | 34.3 | 17.0 | 7,762 | 5,843 | 1,919 | | |
| ③マララ沢・小野松沢、二迫川上流残流域 | 1,577.0 | 82 | 23.5 | 1.5 | 2.8 | 0.2 | 26.3 | 1.7 | 302 | 239 | 63 | 砂岩・泥岩互層の上に軽石凝灰岩、溶結凝灰岩が分布。 | |
| 小計 | 1,984.0 | 111 | 59.2 | 3.0 | 15.6 | 0.8 | 74.8 | 3.8 | 8,653 | 6,533 | 2,120 | | |
| (3)三迫川上流域(放森より上流) | | | | | | | | | | | | | |
| ①裏沢・ゾノウ沢・柳沢 | 1,391.0 | 51 | 45.0 | 3.2 | 33.0 | 2.4 | 78.0 | 5.6 | 1,332 | 363 | 949 | 栗駒山の山麓斜面。 | ゾノウ沢源頭部に大規模崩壊が発生し、土石流となって駒ノ付近に堆積するとともに行者の方まで流下している。 |
| ②岩目沢・ハッカ沢・残流域 | 904.0 | 86 | 26.0 | 2.9 | 5.0 | 0.6 | 31.0 | 3.4 | 359 | 306 | 53 | 軽石凝灰岩の上位に、泥岩・凝灰角礫岩が分布する。 | ハッカ沢や岩目沢では、溶結凝灰岩の急傾斜部で崩壊が多発している。 |
| 小計 | 2,295.0 | 137 | 71.0 | 3.1 | 38.0 | 1.7 | 109.0 | 4.7 | 1,691 | 689 | 1,002 | | |
| (4)三迫川本流(御沢・冷沢・耕英) | | | | | | | | | | | | | |
| | 1,929.0 | 62 | 67.8 | 3.5 | 31.9 | 1.7 | 99.7 | 5.2 | 6,320 | 4,680 | 1,640 | 台地状地形を谷が切り込み、沢沿いに急傾斜面が発達。砂岩・泥岩互層の上位に軽石凝灰岩が分布する。源流域に栗駒山の火成岩が分布する。 | 冷沢駒の渓谷の渓岸及び源頭部に山腹崩壊が多く発生。土石流となって流下している。御沢下流右岸に深層崩壊が発生し、河床閉塞が形成されている。 |
| (5)産女川上流(磐井川) | | | | | | | | | | | | | |
| | 955.0 | 36 | 33.1 | 3.5 | 18.7 | 2.0 | 51.8 | 5.4 | 8,700 | 6,300 | 2,400 | 栗駒山の山麓斜面。新第三紀層の泥岩・砂岩の上位に、栗駒山の噴出物(溶岩・凝灰角礫岩)が分布する。 | 産女川上流部で大規模崩壊が発生。崩壊土砂の一部は土石流となって約1km流下したが、膨大な土砂が残存する。 |
| (6)磐井川上流域(磐井川・鬼越川合流点より上流) | | | | | | | | | | | | | |
| ①湯尻沢・一ツ石沢・桂沢 | 3,136.0 | 279 | 95.0 | 3.0 | 17.0 | 0.5 | 112.0 | 3.6 | 4,775 | 3,069 | 1,706 | 栗駒山の山麓斜面。新第三紀層の泥岩・砂岩の上位に、栗駒山の火山噴出物(溶岩・凝灰角礫岩)が分布する。 | 磐井川上流域では、磐井川源流、一つ石沢および東桂沢では規模の大きな崩壊が集中している。 |
| ②鬼沢沢 | 1,278.0 | 220 | 26.9 | 2.1 | 1.6 | 0.1 | 28.5 | 2.2 | 335 | 268 | 67 | | |
| ③磐井川上流残流域 | 1,557.0 | 145 | 55.3 | 3.6 | 0.5 | 0.1 | 55.8 | 3.6 | 2,370 | 1,610 | 760 | 新第三紀層は、凝灰角礫岩や砂岩からなり、北へ傾斜している地区が多い。 | 鬼沢では、急傾斜斜面に表層崩壊が多発している。 |
| 小計 | 5,971.0 | 644 | 177.2 | 3.0 | 19.1 | 0.3 | 196.3 | 3.3 | 7,480 | 4,947 | 2,533 | | |
| (7)前川流域(胆沢川) | | | | | | | | | | | | | |
| ①タモノキ沢 | 1,480.0 | 126 | 37.6 | 2.5 | 3.5 | 0.2 | 41.1 | 2.8 | 1,504 | 1,475 | 29 | 東西方向に伸びる尾根が形成され、急傾斜となっている。 | 前川流域ではタモノキ沢中流部で深層崩壊および地すべり性崩壊が発生している。また、北沢には源頭部では深層崩壊が発生。特に北向き斜面に深層崩壊が発生している。 |
| ②北沢・前川本流 | 482.0 | 41 | 29.3 | 4.2 | 6.0 | 1.3 | 26.3 | 5.5 | 2,932 | 1,565 | 1,367 | | |
| ③大寒沢・大沢・前川残流域 | 3,550.0 | 243 | 20.0 | 3.5 | 1.0 | 0.0 | 21.0 | 0.6 | 344 | 293 | 51 | 新第三紀層の凝灰角礫岩や砂岩からなり、北へ傾斜している地区が多い。 | |
| 小計 | 5,512.0 | 410 | 77.9 | 1.4 | 10.5 | 0.2 | 88.4 | 1.6 | 4,780 | 3,333 | 1,447 | | |
| (8)屎前沢流域(胆沢川) | | | | | | | | | | | | | |
| | 3,274.0 | 167 | 61.4 | 1.9 | 10.4 | 0.3 | 71.8 | 2.2 | 2,819 | 2,557 | 263 | 新第三紀層の上位に溶結凝灰岩、焼山起源の泥炭植物が堆積する。左岸の尾根部に火山噴出物(溶岩・凝灰角礫岩)が分布する。 | 屎前沢の下流部左岸および上流部右岸に崩壊が多発している。また、再滑動型地すべりの発生も確認される。 |
| 流域の合計 | 28,078.0 | 2,318 | 835.7 | 3.0 | 208 | 0.7 | 1,043.3 | 3.7 | 55,115 | 38,722 | 16,393 | | |
| (9)荒砥沢地すべり | | | | | | | | | | | | | |
| | 98.0 | 1 | 98.0 | 100.0 | 0 | 0.0 | 98.0 | 100.0 | 67,000 | 67,000 | 0 | 緩傾斜の大斜面に地すべり地形が形成されている。砂岩・泥岩互層の上位に軽石凝灰岩が堆積し、その上位に溶結凝灰岩が分布する。 | 斜面高1m以上の大規模な地すべりが発生し、土堆の一部は土塊が荒砥沢ダムに流入している。 |
| (10)市野々原地区(地すべり) | | | | | | | | | | | | | |
| | 13.0 | 3 | 13.0 | 100.0 | 0 | 0.0 | 13.0 | 100.0 | 2,660 | 2,111 | 549 | 東西方向に伸びる尾根から分岐した尾根地すべりが複数発生している。また、尾根地すべりが形成されており、新第三紀層の凝灰角礫岩や砂岩からなり、北へ傾斜している。 | 3つ地すべりブロックが形成され、最上流部の地すべりが磐井川を閉塞している。 |
| 対象流域・地区の合計 | 28,187.0 | 2,322 | 947 | 3.4 | 208 | 0.7 | 1,154.3 | 4.1 | 124,775 | 107,833 | 16,942 | | |

表.2 岩手・宮城内陸地震による主な斜面崩壊の特徴

| 崩壊形式 | 崩壊形態 | 斜面崩壊模式図 | 斜面崩壊事例写真 | 崩壊土砂の流動化 | 流動化事例写真 | 特徴 | 今後の変動予測 | 代表的流域/崩壊名(等価摩擦係数) |
|-----------|-------------|---------|----------|---|---------|---|---|---|
| 浅層崩壊 | 表層崩壊 | | | 崩土は斜面脚部に堆積し、顕著な流動はみられない。 | | <地質> 固結度の低い輕石質凝灰岩や風化安山岩、硬質の風化基岩等が表層土とともに多く落す。 <発生位置> 特に輕石質凝灰岩が分布する40°以上の急傾斜の斜面に多くみられる。頂部は、風化や過急線付近。 <規模> 崩壊深は0.5m程度で規模は小、脚部に堆積。 <その他> 地下水はほとんどみられない。 <地震事例> 兵庫県南部地震の風化花崗岩斜面など | 遭直線を頂部とするため拡大の可能性は小さく、発生した場合は規模も小さい。軟質岩では長期間にわたって流域への細粒土の供給が継続するが、徐々に復元が見込まれる。 | ・一迫川上流 ・河原小屋沢中流 ・前川上流域 ・鎧川上流域 |
| | 転落崩壊～ブロック崩壊 | | | 崩土は斜面脚部に堆積し、顕著な流動はみられない。 | | <地質> 硬質な溶結凝灰岩や溶岩が節理に起因して転倒あるいはクセーブロック状に崩壊。 <発生位置> 柱状節理の発達した溶結凝灰岩や溶岩の垂直面に近い所で多くみられる。 <規模> 崩壊深は数m～10cm程度で、規模は比較的小さい。 <その他> 堆積植物はほとんどが岩塊で、脚部に堆積する。地下水はほとんどみられない。 <地震事例> 新島神津島沖地震の火山岩斜面など | 地盤により不安定化した岩塊が降雨や凍結融解で落石・小規模崩壊を生じる可能性があるが、河床閉塞や崩落堆積の流動化は考慮にくい。植生の自然復旧は見込みにくい。 | ・河原小屋沢左岸(温湯～湯ノ音) ・御沢中～下流 |
| 大規模岩盤崩壊 | | | | 流動性の高い崩壊と低い崩壊がみられる。流動性の高い崩壊は、湧水が多く細粒分に富む。 | | <地質> 極めて硬質な基岩質凝灰岩や岩壁角砾岩を主とするが、下部は軽石質凝灰岩であることが多い。 <発生位置> 岩張りの斜面で発生し、末端は河床付近にあると推測される。背後に進行性崩壊があることがある。 <規模> 崩壊深は数10m～100m程度で、規模は大規模。 <その他> 堆積堆積物は岩塊と細粒物からなり、流動化する場合が多い。大量的地下水がみられることがある。 <地震事例> 北海道南西沖地震の奥尻漁港寒山腹など | 崩壊土塊の安定性は高いため再滑動の危険性はない。大規模な滑落堆積は急傾斜であり、小規模落石が進む。崩壊部に大蛇腹がある場合は、降雨・融雪により崩れ落ち、土石流や河道閉塞を生じる可能性がある。 | ・产女川大崩壊 0.23 ・温浜大崩壊 0.27 ・相川上流左岸 0.56 ・相川上流右岸 0.43 |
| 崩壊～円弧すべり | | | | 流動性の非常に高い崩壊とやや高い崩壊がみられる。 | | <地質> 風化が進んだ硬質な溶結凝灰岩や溶岩・凝灰角砾岩の円弧状崩壊。基岩は必ずしも基岩質凝灰岩の場合が多い。 <発生位置> 沿岸中の中部でもみられる。斜面内に相当量の土塊が残存する場合もある。 <規模> 崩壊深は数m～數10m程度で、規模は大きい。 <その他> すべり面出口の下部斜面を削除する。流動化する。地下水がみられる事がある | 崩壊土塊の安定性は高いが、震動時に再滑動する危険性もある。滑落堆積は急傾斜であり、背後斜面はやや急であるため、降雨等により崩れ落ち、土石流や河道閉塞を生じる可能性がある。 | ・温・倉温泉崩壊 0.31 ・ドラウ沢崩壊 0.12 ・桂源頭崩壊 0.37 |
| 深層崩壊・地すべり | 崩壊～複合すべり | | | 崩壊土砂は、極めて流動性に富む。 | | <地質> 軽石質凝灰岩内の層理面に沿うすべりで、頭部には硬質な溶結凝灰岩が平行に累重する複合すべり。 <発生位置> 過急線背後の凹面を滑落させ、末端は浜岸斜面の途上。すべり面の傾斜は緩慢で緩傾斜。 <規模> 崩壊深は数m～10cm程度で、規模は大きい。 <その他> すべり面出口の下部斜面を削除する。崩壊土塊の流動が顕著。湧水はほとんどみられない。 | 崩壊土塊の安定性は高いが、降雨・震動時に再滑動する危険性もある。崩壊斜面にも同じ地質構造が続くため、降雨等により拡大崩壊する可能性がある。 | ・韓英地区 0.09 ・二迫川 0.14 |
| | 平板すべり | | | 斜面長の数倍の顕著な流動や流動に伴って湿った細粒土の固気混相流が認められる。 | | <地質> 硬質な溶結凝灰岩や溶岩の平板状の崩壊(すべり面は下層の軽石質凝灰岩との層界)あるいは堆積岩の流れ壁の崩壊。 <発生位置> 屋根尖端部で認められ、斜面内に相当量の土塊が残存する。すべり面傾斜は緩傾斜。 <規模> 崩壊深は数10m程度で、規模は非常に大きい。 <その他> すべり面出口の下部斜面を削除する。崩壊土塊の流動が顕著である。 | 崩壊土塊の安定性は高いが、末端土砂の除去や降雨・融雪時に再滑動する危険性もあり、拡大崩壊する可能性がある。崩壊土砂は、流動性が高く河道閉塞を生じる可能性がある。 | ・川原小屋沢左岸崩壊 0.29 ・伊豆根沢崩壊 0.27 ・市野原地区地すべり |
| | 再滑動地すべり | | | 末端崩壊は粗粒分が多く、流動性に富む。 | | <地質> シルト層の層理面や粘土化凝灰岩に沿うすべりで、すべり面傾斜は非常に緩い。 <発生位置> 田畠すり地形の一部ないし冠頭部へ拡大した範囲で、末端は旧河床付近と推測される。 <規模> 崩壊深は数10m～100m超と大規模。 <その他> | 移動土塊の安定性は一時的に高まったが、末端侵食によって再滑動する危険性がある。大滑動により、冠頭部は不安定化し、移動土塊の不安定化を助長する。 | ・荒砥ダム上流 ・川原小屋沢右岸 ・原川前沢流域 |

※深層崩壊と地すべりは、移動土塊の擾乱程度で区分し、前者が原形をとどめないほど搅乱されているもの、後者ははある程度塊状で滑動したものとした。

4. 岩手・宮城内陸地震による山地災害対策方針案

| 流域別・地区別荒廃状況(検討会対象流域・地区内) | | | | | | | | | | | 整備目標 | 整備計画 | | | |
|------------------------------------|--------------|-------------|--------------|------------|--------------|------------|-------------|------------|---------------------------------|--------------------------------|---------------------------------|---|----------------|-------------|----|
| 流域区分 | 流域面積 (ha) | 山腹荒廃状況 | | | 渓流荒廃状況 | | 荒廃現況計 | | 不安定土砂量 | | | 渓間工(基) | | 山腹工 (箇所) | |
| | | 崩壊個数 (個) | 崩壊面積 (ha) | 荒廃率 (%) | 荒廃面積 (ha) | 荒廃率 (%) | 面積計 (ha) | 荒廃率 (%) | 不安定土砂量 ①+②(千m ³) | 山腹残存土砂 量①(千m ³) | 渓床不安定土砂量 ②(千m ³) | 谷止工 | 床固工 | | |
| (1)一迫川上流域 (一迫川・伊豆根沢合流点より上流) | 6,156 | 751 | 288.1 | 4.7 | 63.4 | 1.0 | 351.5 | 5.7 | 14,671 | 9,683 | 4,988 | 山腹工と渓間工を組み合わせて土砂流出の抑制と森林復旧を目指す。 | 34 | 38 | 32 |
| (2)二迫川上流域 (荒砥沢ダムより上流、荒砥沢地すべり以外) | 1,984 | 111 | 59.2 | 3.0 | 15.6 | 0.8 | 74.8 | 3.8 | 8,653 | 6,533 | 2,120 | 山腹工と渓間工を組み合わせて土砂流出の抑制と森林復旧を目指すと共に、荒砥沢ダムへの土砂流入を抑制する。 | 18 | 8 | 10 |
| (3)三迫川上流域 (栗駒ダム上流放森より上流、耕英地区以外) | 2,295 | 137 | 71.0 | 3.1 | 38.0 | 1.7 | 109.0 | 4.7 | 1,691 | 689 | 1,002 | 山腹工と渓間工を組み合わせて土砂流出の抑制と森林復旧を目指すと共に、栗駒ダムへの土砂流入を抑制する。 | 12 | 0 | 16 |
| (4)三追川本流(御沢・冷沢・耕英) | 1,929 | 62 | 67.8 | 3.5 | 31.9 | 1.7 | 99.7 | 5.2 | 6,320 | 4,680 | 1,640 | 山腹工と渓間工を組み合わせて土砂流出の抑制と森林復旧を目指す。 | 17 | 15 | 13 |
| (5)産女川上流 | 955 | 36 | 33.1 | 3.5 | 18.7 | 2.0 | 51.8 | 5.4 | 8,700 | 6,300 | 2,400 | 山腹工と渓間工を組み合わせて土砂流出の抑制と森林復旧を目指す。 | 5 | 32 | 1 |
| (6)磐井川上流域 (磐井川・鬼頭川合流点より上流) | 5,971 | 644 | 177.2 | 3.0 | 19.1 | 0.3 | 196.3 | 3.3 | 7,480 | 4,947 | 2,533 | 山腹工と渓間工を組み合わせて土砂流出の抑制と森林復旧を目指す。 | 21 | 0 | 13 |
| (7)前川流域(胆沢川) | 5,512 | 410 | 77.9 | 1.4 | 10.5 | 0.2 | 88.4 | 1.6 | 4,780 | 3,333 | 1,447 | 山腹工と渓間工を組み合わせて土砂流出の抑制と森林復旧を目指すと共に、胆沢ダムへの土砂流入を抑制する。 | 16 | 0 | 4 |
| (8)原前沢流域(胆沢川) | 3,274 | 167 | 61.4 | 1.9 | 10.4 | 0.3 | 71.8 | 2.2 | 2,819 | 2,557 | 263 | 山腹工と渓間工を組み合わせて土砂流出の抑制と森林復旧を目指すと共に、胆沢ダムへの土砂流入を抑制する。 | 8 | 0 | 4 |
| 合 計 (荒砥沢地すべり以外) | 28,076 | 2,318 | 835.7 | 3.0 | 208 | 0.7 | 1,043.3 | 3.7 | 55,115 | 38,722 | 16,393 | | 131 | 93 | 93 |
| (9)荒砥沢地すべり | 98 | 1 | 98.0 | 100.0 | - | - | 98.0 | 100.0 | 67,000 | 67,000 | - | 目標安全率F=1.1とした対策を実施する | 地すべり対策 杭打工他 | | |
| (10)市野々原地区(地すべり) | 13 | 3 | 13.0 | 100.0 | - | - | 13.0 | 100.0 | 2,660 | 2,111 | 549 | 目標安全率F=1.2とした対策を実施する | 地すべり対策 杭打工他 | | |
| 検討会対象流域・地区の合計 | 28,187 | 2,322 | 947 | 3.4 | 208 | 0.7 | 1,154.3 | 4.1 | 124,775 | 107,833 | 16,942 | | 131 | 93 | 93 |

| | |
|--------|--|
| 山地災害状況 | <ul style="list-style-type: none"> 検討対象流域・地区における荒廃面積は1,154ha、荒廃率4.1%で一迫川上流と二迫川上流、三迫川上流、産女川上流の荒廃が特に著しい。 検討対象流域・地区における不安定土砂量は、12,478万m³、1haあたり4,420m³の土砂が今回の地震により生産されている。 山腹崩壊土砂により、各流域で河道閉塞が多数形成された。 |
| 整備目標 | 融雪や豪雨等による山腹崩壊の拡大防止と荒廃渓流からの土砂流出の抑制により、山地災害による地域の安全性の向上を図るとともに、荒廃した森林を復旧し、森林の有する公益的機能の回復を図り、地域の自然環境の保全・形成に寄与することを目標とする。 |

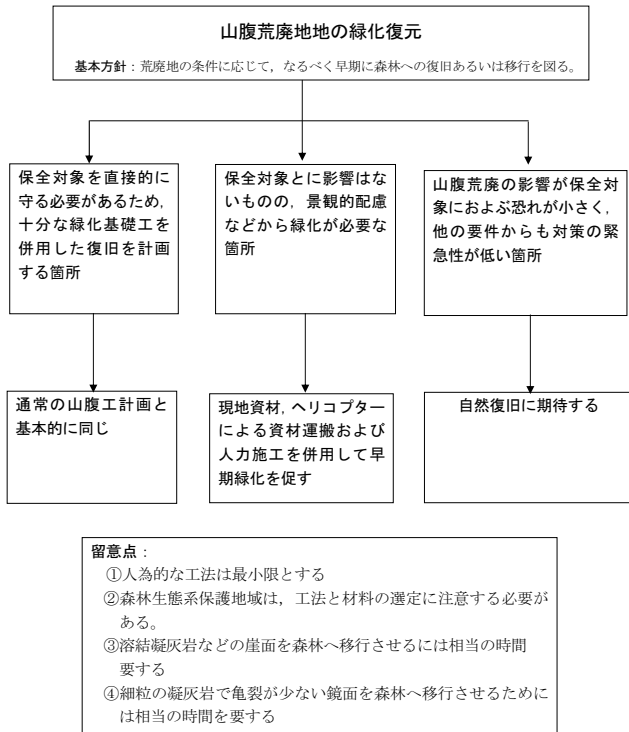
表 4.1 荒廃渓流の整備方針(案)

| 大区分 | 河道閉塞箇所 | | 地震災害で形成された渓床堆積物 | |
|------|--|--|---|---|
| 小区分 | 大規模(湛水量数万m ³ 以上) | 中～小規模(湛水量数万m ³ 以下) | 堆積土砂の洗掘が著しい場合 | 堆積土砂の洗掘が少ない場合 |
| イメージ |  |  |  |  |
| 特徴 | <p>大規模崩壊によって形成された大規模な河道閉塞と湛水池。越流量が増すと決壊し、大規模な土石流が発生する可能性がある。</p> <p>河床の上昇は數10m以上であり、河道閉塞下部斜面は急勾配となっている。崩壊土砂は岩塊を主とし比較的の流動性が低いため、透水性が高い。</p> | <p>溪岸崩壊や崩壊流下土砂によって形成された河道閉塞と比較的の規模の小さい湛水池。</p> <p>河床の上昇は大きいが上流への土砂堆積や上流河床勾配が急であるため、湛水量は大きくないが、越流量が増すと決壊し、土石流が発生する可能性がある。河道閉塞下部斜面は急勾配となっている。比較的の流動性が高い岩塊土砂からなり、透水性が低い。</p> | <p>流動性の高い崩壊土砂が河道へ流下し、狭窄部で流下土砂がダムアップし、その下流側が急勾配となることが多い。堆積土砂の流動性が高いため、急勾配部は浸食が増大することがある。</p> | <p>狭窄部の上流の堆積勾配は比較的の緩傾斜となる。堆積土砂により河道が上昇し、平坦化しているため、乱流による横浸食が懸念される。</p> |
| 対策方針 | 基本方針 | <p>山脚の固定と渓床の安定化を図るために、渓床の不安定土砂や流水等に対して渓間工を検討する。</p> <p>脆弱な地質、積雪地帯、施工のためのアクセス条件等を十分考慮し、短期間で実施可能な対策を検討する。</p> <p>渓床堆積物を構成する礫種、礫径、礫の軟化(スレーリング等)、堆積土砂の透水性を把握し、浸透水や伏流、浸食対策を検討して渓間工を選定する。</p> <p>元渓床勾配と堆積土砂の継断形状を把握して、施設配置を検討する。</p> <p>渓床堆積物が厚く堆積している場合は、渓床の平面形や渓床勾配、伏流水、周辺からの地表水の流入を考慮して、施設配置を検討する。</p> | | |
| | 応急対策工 | <p>越流水による侵食や浸透水による崩壊を防止するために、緊急に河道掘削等を行う。</p> <p>またワイヤーセンサ等の監視システムを設置する。</p> <p>既に越流して河道が形成され、決壊の危険性が低い場合は応急対策はしない。</p> | <p>必要に応じ、ワイヤーセンサ等の監視システムを設置する。</p> <p>既に越流して河道が形成され、決壊の危険性が低い場合は応急対策はしない。</p> | <p>堆積土砂の末端部の崩壊等により二次的に土石流が発生するおそれがある場合は、必要に応じ、ワイヤーセンサ等の監視システムを設置する。</p> |
| | 恒久対策 | <p>河道閉塞堆積土砂の下流端に基礎となる大型谷止工を設置して、崩壊土砂の浸食や流出を防止する。条件により、現地発生土利用を検討する。</p> <p>越流部は、開削・河道掘削して湛水を解消する。</p> <p>河道閉塞下流部の流路を固定し、崩壊と浸食を防止する床固工群を配置する。</p> <p>堆積土砂の礫種や礫径を把握し、岩塊が多く河道が確保されている場合は、三面張の必要性の要否を検討する。</p> <p>細粒で浸食や透水性が高い場合は、流路工を三面張とする。</p> <p>河道閉塞の上流部は、床固工群と護岸工を設置し、乱流を防止し流路を固定する。</p> <p>堆積厚が大きいため、構造物の基礎を検討し、条件により構造をフレキシブルタイプとする。</p> <p>堆積土砂の周辺からの流入による堆積土砂の浸食を防止する。</p> | | |
| | その他 | <p>必要に応じて流木対策を行う。下流側で渓間工事を実施する場合は、施工中の安全管理の目的で、必要に応じてワイヤーセンサー等による監視システムを検討する。</p> | | |

表 4.2 山腹荒廃地の整備方針（案）

| 大区分 | 浅層崩壊 | | 深層崩壊 | | 地すべり | |
|------|---|---|---|---|--|---|
| | 表層崩壊 | 転倒崩壊・ブロック崩壊 | 規模小 | 規模大 | | |
| イメージ | | | | | | |
| 特徴 | 軽石質凝灰岩などの比較的軟質な堆積物の浅層崩壊と、亀裂が発達した硬質な岩盤の浅層崩壊がある。斜面内に残存する不安定土砂はほとんどない。 発生件数が非常に多い。 | 節理性岩盤の落石・転倒崩壊・ブロック崩壊。発生源斜面勾配は非常に高角であり、節理が発達するため、不安定岩塊が多数分布する。 林道などの施設に被害を与えるおそれがある。 | 崩壊地内には土砂が多量に残存するとともに、滑落崖には溶結凝灰岩などの節理の発達した不安定な斜面が形成されている。豪雨や地震で拡大する危険性も高い。 末端部は斜面途中に出る。崩壊土砂は流動性が高く、土石流となり下部斜面を削剝している。 | 崩壊土砂は比較的安定した状態にあると推測されるが、伏流水等により末端が崩壊し土石流化する危険性がある。 崩壊面は岩盤の屹立した面で、冠頭部には退行性亀裂がみられる場合があるが、その再活動性は不明。 | 斜面内には崩壊土砂の多くが残存し、大きな滑落崖が形成されている。豪雨や地震で拡大する危険性も高い。 崩壊土砂は、河道を閉塞し、土砂ダムを作っていることが多い。 | |
| 基本方針 | 栗駒山山域の地震による山腹崩壊は、浅層崩壊や大規模な深層崩壊、地すべりなど、様々な崩壊形態が認められる。 崩壊形態、再滑動の可能性、地形形状、地質等を把握し、自然回復の可能性を含めて、渓間工、山腹工を検討する。 脆弱な地質、積雪地帯、施工のためのアクセス条件等を十分考慮し、短期間に実施可能な対策を検討する。 崩壊土砂の流出を防止と山脚の固定を図るために渓間工を検討し、山腹からの土砂流出が多い場合は、山腹工を検討する。 | | | | | |
| 対策方針 | 対策工法 | 崩壊土砂が少なく、流出土砂のほとんどが渓床に堆積しているため、下流に設置する渓間工で対応する。 崩壊地内は、植生の自然回復による復旧を主とする。 必要性に応じて、土砂流出が今後も続き、早急な植生の回復が困難な場合は、切土整形、岩盤緑化工、土留工等の山腹工を検討する。 | 崩壊土砂が少なく、流出土砂のほとんどが渓床や斜面下方に堆積しているため、渓間工や土留工で対応するものとする。岩盤の滑落崖は自然回復とする。 崩壊地の緩斜面内は、岩塊が多く植生の自然回復による復旧を主とする。 必要に応じて、落石・岩盤崩壊を防止するため、危険斜面および不安定岩塊を抽出し、発生源における山腹工や保全対象に近接した位置での防護対策を検討する。 | 崩壊土砂が山腹に残存し、渓床にも流出した土砂が堆積しているので、渓間工で対応するものとする。滑落崖は、硬質の岩盤が露岩している場合が多く、自然回復とする。 崩壊地内は、傾斜が緩いため、植生の自然回復による復旧を主とする。 必要に応じて、切土工・法面工・土留工などの山腹工を整備して、山腹の安定化を図る。 必要に応じて、伸縮計やワイヤーセンサ等を利用した警報システムを導入する。滑落崖に退行性亀裂が発生している場合は、伸縮計を利用した監視システムを検討する。 | 落差の大きな滑落崖と大量の崩壊土砂が堆積し、河道閉塞を形成している場合もあるので、崩壊土砂の脚部の安定化を図るために、渓間工を検討する。滑落崖は、土砂移動が多く、自然回復は時間が要する。崩壊地の緩斜面は、植生の自然回復による復旧を主とする。 必要に応じて、末端崩壊を防止するため、切土工・土留工・水路工・暗渠工等の山腹工を整備して、山腹の安定化を図る。 周辺からの地表水が浸透して伏流となって2次崩壊が予想される場合は、地表水処理を検討する。 退行性亀裂が拡大し、崩壊の可能性が高く、下流への影響が大きい場合には、詳細な機構調査を実施して、切土工・緑化工などの山腹工を検討する。 | 山腹に大量の土砂が堆積しているので、地すべり末端の浸食防止を図るために、渓間工を検討する。 必要に応じて、応急対策（渓間工策、地下水対策）を実施して、当面の危険な状態を回避する。地すべり機構調査を実施し、抑止工と抑制工を組みあわせた恒久対策を検討する。 効果判定のための追跡調査を実施する。 |
| | その他 | | 保全対象が近い場合や施工中の安全管理のために、伸縮計やワイヤーセンサ等の監視システムを検討する。 | | 地震や降雨・融雪等により、地すべりの拡大や再活動する可能性がある場合は、監視システムを検討する。 | |

岩手・宮城内陸地震により発生した山腹荒廃地の緑化復元方針（案）



山腹荒廃地の自然復旧の例 1. 凝灰角砾岩・輝石の場合 (凹凸がある岩盤)



山腹荒廃地の自然復旧の例 2. 溶結凝灰岩等の急崖および崖錐性堆積物



■ 尿前川左岸の溶結凝灰岩崩落の発生と旧崩落の自然復旧



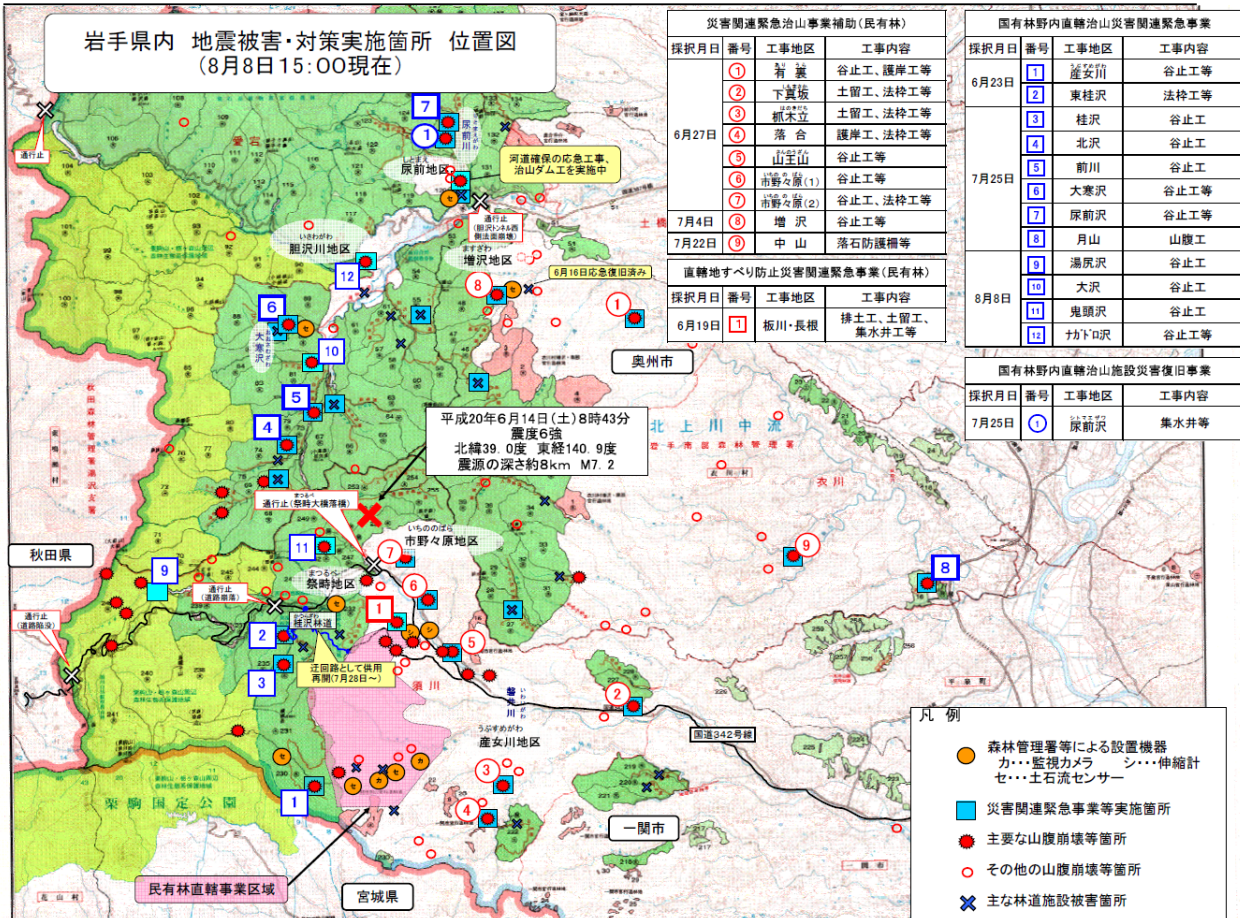
■ 溶結凝灰岩崩落面への木本類定着の拡大



■ 巨礫の崖錐へ森林定着状況（川原小屋沢右岸）

巨礫の崖錐は安定しており、凹凸の存在により種子の発芽と定着が容易に行われる。比較的早期の森林復旧が見込まれる。

5. 岩手・宮城内陸地震に係る対策実施状況及び監視体制



宮城県内 地震被害・対策実施箇所 位置図
(8月8日15:00現在)

国有林野内直轄治山災害関連緊急事業

| 採択月日 | 番号 | 工事地区 | 工事内容 |
|-------|----|-------------|--------|
| 6月23日 | ① | いわき市地区 | 土留工等 |
| 6月27日 | ② | 二泊川地区Ⅰ | 河道開削等 |
| 6月27日 | ③ | 二泊川地区Ⅱ | 地すべり調査 |
| 7月4日 | ④ | 一泊川地区Ⅲ | 谷止工等 |
| 7月25日 | ⑤ | 一泊川地区Ⅳ | 谷止工等 |
| 7月25日 | ⑥ | 二泊川地区Ⅴ | 谷止工等 |
| 7月25日 | ⑦ | 二泊川地区Ⅵ | 谷止工等 |
| 8月8日 | ⑧ | 三泊川地区 | 法林工等 |
| 8月8日 | ⑨ | 二泊川地区(さくら沢) | 谷止工等 |
| 8月8日 | ⑩ | 二泊川地区(さくら沢) | 谷止工等 |
| 8月8日 | ⑪ | 三泊川地区(行者渓) | 谷止工等 |
| 8月8日 | ⑫ | 一泊川(水無沢) | 谷止工等 |
| 8月8日 | ⑬ | 三泊川地区(下沢) | 谷止工等 |
| 8月8日 | ⑭ | 三泊川地区(岩の沢) | 谷止工等 |
| 8月8日 | ⑮ | 北東首地区(椎松) | 法面工等 |
| 8月8日 | ⑯ | 三泊川地区(栗駒駒込) | 谷止工等 |
| 8月8日 | ⑰ | 一泊川地区(小川口) | 法林工等 |
| 8月8日 | ⑱ | 三泊川地区(日向森) | 谷止工等 |
| 8月8日 | ⑲ | 三泊川地区(英賀下森) | 法林工等 |
| 8月8日 | ⑳ | 三泊川地区(三泊川) | 谷止工等 |



災害関連緊急治山事業補助(民有林)

| 採択月日 | 番号 | 工事地区 | 工事内容 | 採択月日 | 番号 | 工事地区 | 工事内容 |
|-------|----|-----------|------------------|-------|----|-----------|----------|
| 6月27日 | ① | 本沢林業(大木田) | 土留工、法林工等 | 7月22日 | ① | 本沢林業(大木田) | 法林工等 |
| 6月27日 | ② | 草木炭(阿仁大) | 谷止工等 | 7月22日 | ② | 荒瀬沢(明神大) | 谷止工等 |
| 6月27日 | ③ | 西沼(伊賀大) | 土留工、法林工等 | 7月22日 | ③ | 荒瀬沢(明神大) | 法切工等 |
| 6月27日 | ④ | 沼曲(西沼大) | 護岸工、根固工、土留工、法林工等 | 7月22日 | ④ | 荒瀬沢(明神大) | 土留工、法林工等 |
| 6月27日 | ⑤ | 文次沢(根波大) | 土留工、法林工等 | 7月22日 | ⑤ | 東沼(カミカミ)大 | 土留工、法林工等 |
| 6月27日 | ⑥ | 根波(根波大) | 土留工、集水井工等 | 7月22日 | ⑥ | 根波(根波大) | 土留工等 |
| 6月27日 | ⑦ | 根波(根波大) | 土留工等 | 7月22日 | ⑦ | 根波(根波大) | 土留工等 |
| 6月27日 | ⑧ | 根波(根波大) | 土留工、法林工等 | 7月22日 | ⑧ | 新(根波大) | 谷止工等 |
| 6月27日 | ⑨ | 根波(根波大) | 土留工、法林工等 | 7月22日 | ⑨ | 新(根波大) | 谷止工等 |
| 6月27日 | ⑩ | 根波(根波大) | 土留工、集水井工等 | 7月22日 | ⑩ | 新(根波大) | 谷止工等 |
| 6月27日 | ⑪ | 根波(根波大) | 土留工等 | 7月22日 | ⑪ | 根波(根波大) | 土留工等 |
| 6月27日 | ⑫ | 新(根波大) | 谷止工等 | 7月22日 | ⑫ | 新(根波大) | 谷止工等 |
| 6月27日 | ⑬ | 新(根波大) | 谷止工等 | 7月22日 | ⑬ | 新(根波大) | 谷止工等 |

| 採択月日 | 番号 | 工事地区 | 工事内容 |
|------|----|-----------|-----------|
| 7月3日 | ① | 新(根波大) | 資材運搬路、調査費 |
| 7月3日 | ② | 日高(根波大) | 調査費 |
| 7月3日 | ③ | 新(根波大) | 応急対策工、調査費 |
| 7月3日 | ④ | 新(根波大) | 応急対策工、調査費 |
| 7月3日 | ⑤ | 新(根波大) | 応急対策工、調査費 |
| 7月3日 | ⑥ | 本沢林業(根波大) | 調査費 |



国有林野内直轄治山施設災害復旧事業

| 採択月日 | 番号 | 工事地区 | 工事内容 |
|-------|----|--------|------|
| 7月25日 | ① | いわき市地区 | 谷止工等 |

凡例

○ 森林管理署等による設置機器
■...監視カメラ シ...伸縮計
× 主な林道被害箇所
● 主要な山腹崩壊等箇所

○ その他の山腹崩壊等箇所



初期の応急復旧・監視体制の整備状況

【林野庁】

- ・林野庁治山課山地災害対策室に情報連絡室を設置（6月14日9:30）
- ・林野庁に「平成20年岩手・宮城内陸地震災害対策本部」を設置（6月16日～）
- ・現地調査：林野庁、岩手県及び宮城県と合同で実施（6月20日～22日、25日～26日）
- ・栗駒、花山地区等に「治山技術エキスパート部隊」を現地に派遣（6月25日～7月21日）



国道342号線祭崎集落迂回路

河道閉塞箇所の流木処理及び流木による二次災害を防ぐため、行者渓周辺の倒木処理を実施

【東北森林管理局】

- ・東北森林管理局において「災害対策本部」を設置（6月14日9:00）
- ・栗原市災害対策本部に東北森林管理局職員を派遣（7月14日～）
- ・林野庁、宮城県合同 のへりにより山地災害の現地調査（6月15日）
- ・東北森林管理局において現地対策本部を設置（6月15日10:50）
- ・被災した国道398号線の資材運搬路としての国有林林道の緊急整備（6月18日～）
- ・緊急対応として、土石流センサー等の監視・観測機器を随時設置（6月18日～）
- ・栗駒ダム上流での流木による二次災害を防止のための倒木処理（6月20日～27日）
- ・孤立化した耕英市地区への市道の崩土除去を通行確保（6月21日）
- ・被災した国道342号線の迂回路として国有林林道の崩土除去（6月24日供用開始）
- ・尿前川の河道閉塞箇所からの土砂流出を防ぐための治山ダム工に着手（7月8日）
- ・学識経験者等による山地災害対策検討会を実施（7月12日～）

応急復旧工事の例

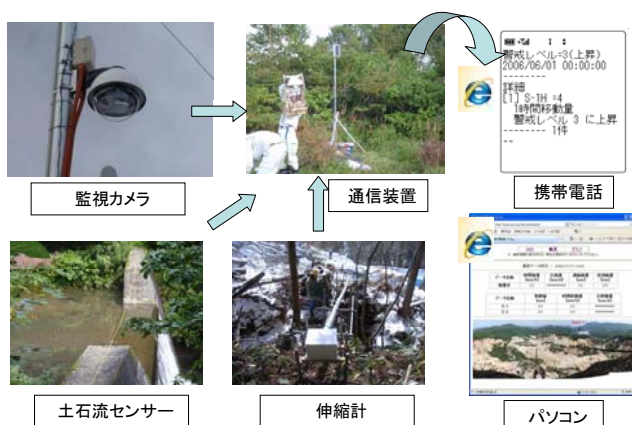


屎前沢 無人バックホーによる河道開削工事



屎前川 応急復旧 カゴ枠工事

監視体制の整備の例



○. 監視システム (平成20年8月末の時点)

各流域の現在の監視システム

監視機器設置状況

| 地区名 | 位置 | 機器種類 | 現況 |
|-----|-------------|---------|-----------------------------|
| 一迫川 | 温湯 | 土石流センサー | ① 稼働中。河道閉塞対策および解消が進んでいる。 |
| 二迫川 | 荒砥沢ダム上流 | 土石流センサー | ② 2基稼働中。ヒアピクラ沢、シヅミクラ沢土砂流出監視 |
| | 荒砥沢ダム上流地すべり | 監視カメラ | ③ 稼働中。地すべりブロック末端部状況監視。 |
| 三迫川 | 新湯-ドゾウ沢合流点 | 土石流センサー | ④ 稼働中。ドゾウ沢土砂流出監視。現地発報 |
| 磐井川 | 産女川下流 | 監視カメラ | ⑤ |
| | 産女川下流 | 土石流センサー | ⑥ |
| | 産女川中流 | 監視カメラ | ⑦ 稼働中。産女川土砂流出監視 |
| | 産女川中流 | 土石流センサー | ⑧ |
| | 産女川上流 | 土石流センサー | ⑨ |
| | 産女川大崩壊地背後亀裂 | 伸縮計(予定) | ⑩ 3基設置作業中。背後亀裂監視予定 |
| | 市野々原地すべり | 伸縮計 | ⑪ 6基稼働中。地すべり変動監視 |
| | 祭崎地区 | 土石流センサー | ⑫ 稼働中。磐井川上流土砂流出監視。 |
| 胆沢川 | 大寒沢 | 土石流センサー | ⑬ 稼働中。大寒沢土砂流出監視。 |
| | 尿前川 | 土石流センサー | ⑭ 稼働中。尿前川土砂流出監視。 |

現在の監視体制は、上の表および次頁図のとおりである。

- ・ 土石流センサー 9箇所 10基
- ・ 伸縮計 2箇所 9基 (内、⑩ 1箇所 3基は、設置作業中)
- ・ 監視カメラ 3箇所 3基

(平成20年8月末の時点)

監視機器設置位置図

